

스마트그리드 환경에서 좌표 값을 적용한 빌딩 주소 할당 방법

정회원 임 송 빈*, 오 영 환*

Allocation algorithm applied building addressing value the coordinate in Smart Grid Environments

Song-Bin Im*, Young-Hwan Oh** *Regular Members*

요 약

본 논문에서는 스마트그리드 환경에서 적용되고 있는 ZigBee 무선 통신 환경의 주소 지정 방식과 라우팅 알고리즘의 성능을 향상시키기 위한 새로운 좌표 값 알고리즘을 제안하였다. 기존 Cskip 알고리즘을 이용한 분산 주소 할당 기법의 낭비되는 주소공간의 문제를 해결하기 위해 (x,y,z) 3개의 좌표 축을 제안하여 16bit 주소공간을 분할하여 사용한다. 각 노드에서 라우팅 시 좌표 값을 이용하여 적은 비트별 연산이 수행되며 멀티 홉을 감소시킬 수 있다. 이에 대한 성능 분석으로 제안한 알고리즘은 수학적 분석 모델을 사용하였고 ZigBee 무선 통신 환경의 계층적 라우팅에서 사용하는 경로 벡터를 사용하여 센서 노드의 멀티 홉 카운트 결과를 도출하였다. 수학적 분석 결과 ZigBee 분산 주소 할당 기법과 기존 알고리즘에 비해 평균 멀티 홉의 수가 감소함으로써 에너지 효율이 향상됨을 입증하였다.

Key Words : Smart Grid, ZigBee, Cskip algorithm, AMR, AMI

ABSTRACT

In this paper, we proposed the efficient addressing scheme for improving the performance of routing algorithm by using ZigBee in Smart Grid environment. A distributed address allocation scheme used an existing algorithm that has wasted in address space. Therefore proposing x, y and z coordinate axes from divided address space of 16 bit to solve this problems. Each node was reduced not only bitwise but also multi hop using the coordinate axes while routing than Cskip algorithm. I compared the performance between the standard and the proposed mechanism through the numerical analysis. Simulation verified performance about decrease averaging multi hop count that compare proposing algorithm and another. The numerical analysis results show that proposed algorithm reduced the multi hop better than ZigBee distributed address assignmen

I. 서 론

전력망에 통신망을 접목시켜 전력계통 시스템의 제어를 통하여 발전·송전·배전의 전 과정에 대한 통제가 가능하여 지고, 결과적으로 에너지 사용

의 효율성을 높이고자 하는 것이 에너지 인터넷이라고 불리는 지능형 전력망(Smart Grid)의 목표이다.

즉, 기존 전력망에 정보 기술(IT)을 융합하여 전력 공급자와 소비자가 양방향으로 정보를 교환함으

※ 본 연구는 2011년도 광운대학교 연구년에 의하여 연구되었음

* 광운대학교 전자통신공학과 통신망 연구실(songbine@hotmail.co.kr), (° : 교신저자)

논문번호: KICS2011-12-602, 접수일자: 2011년 12월 5일, 최종논문접수일자: 2011년 1월 25일

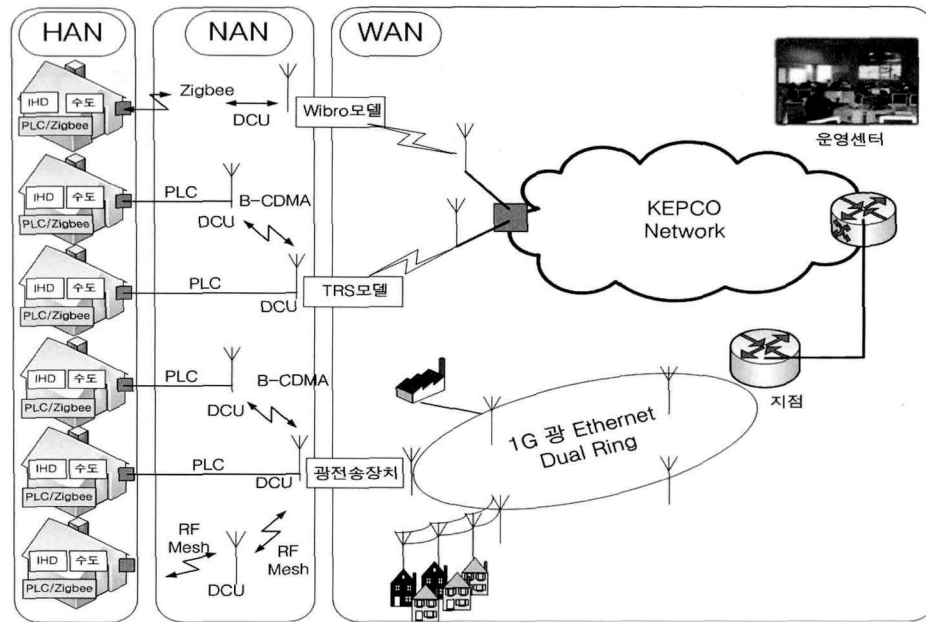


그림 1. 통신망 및 운영센터 구성도
 Fig. 1. Architecture of communications network and Operation Center architecture.

로써 에너지 효율을 최적화하는 차세대 전력망이라고 할 수 있다. 현재 스마트 그리드 환경에서는 그림 1과 같이 고객 구내 스마트 기기 연결을 위한 HAN(Home area network)과 SUN(Smart energy Utility Network)으로 나뉜다. SUN은 크게 소비자 와 전력회사를 연결해 주는 통신망으로서 수집에서 수백가구를 연결하는 NAN (Neighborhood Area Network)과 장거리 전송을 위한 WAN (Wide Area Network)으로 구성된다.^[1,2]

지금까지는 스마트 그리드 산업의 도입단계로써 스마트 시티에 적합한 연구 개발이 활발한 가운데 각종 건물이나 빌딩 등 입체 공간 및 다양한 환경에 적합하도록 많은 연구가 진행되고 있다. 따라서 AMR(Auto Meter Reading)의 단순한 원격 검침 기능뿐만 아니라 생산자와 소비자 간의 양방향 정보 제공 및 연동의 기능을 가지는 AMI(Advanced Metering Infrastructure)와 같은 인프라가 스마트 그리드에 있어 필수적인 요소가 될 것이다.^[3]

AMI란 다양한 정보통신 기술을 활용하여 전력, 가스, 물 등의 에너지 생산/소비 정보를 실시간으로 전달하여 에너지의 효율적인 활용을 지원하는 스마트 그리드 기술을 말한다.

현재 스마트 제어기와 AMI를 연결하기 위한 네트워크 시스템으로는 다양한 네트워크 프로토콜이 제안되고 있다. 유선으로는 RS485 및 PLC (Power Line Communication) 등이 있고, 무선으로는 블루투스, ZigBee, Z-Wave등이 거론되고 있다.^[4] 현재

가정이나 빌딩 등에서 주로 사용되고 있는 방식은 음성과 문자데이터, 영상 등을 전송하는 기술로써 별도의 배전공사 없이 가정에 이미 깔려있는 전력선을 사용해 홈네트워킹을 구현하고 있다. 그러나 전력선을 공통으로 사용함에 따라 발생하는 낮은 전송 속도와 표준화 결여로 인해 기기 간 폭넓은 호환성 확보에 어려움이 따른다. 때문에 활발한 스마트산업의 발전에 따라 HA (Home Automation) 시스템을 구현하기 위해 ZigBee 무선 통신이 많이 고려되고 있다.

ZigBee는 저 전력, 저 가격, 사용의 용이성을 가진 근거리 무선 센서네트워크의 대표적 기술 중의 하나로써 IEEE 802.15.4^[5] 표준의 PHY층과 MAC층을 기반으로 상위 계층인 Network, APL 계층은 ZigBee Specification에 정의 되어있다.

이러한 ZigBee 통신규격은 유럽의 경우 868MHz, 미국의 경우 915MHz를 사용하며 전 세계적으로 2.4GHz 주파수 대역을 사용하고 있다. 이러한 ZigBee 무선 통신은 저속의 전송 속도를 갖는 HA 및 데이터 네트워크를 위한 표준 기술로써 버튼 하나로 하나의 동작을 잡아 집안 어느 곳에서나 전등 제어 및 홈 보안 시스템 VCR on/off 등을 할 수 있고, 인터넷을 통한 전화 접속으로 HA를 더욱 편리하게 이용하려는 것에서부터 출발한 기술이다.

ZigBee 네트워크 계층에 관련하여 라우팅 경로를 줄이기 위한 방법으로 노드가 가진 이웃테이블을 이용한 다양한 라우팅 방법이 연구되고 있

다.^[6-8] 이와 같이 에너지를 효율을 고려한 라우팅 알고리즘에 관한 연구는 지속적으로 개발되고 있다.

ZigBee 네트워크는 코디네이터, 라우터, 센서노드로 구성되며 이러한 많은 노드들이 하나의 네트워크를 구성하며 센서 네트워크에서 주소 범위를 할당하는 방식으로 *Cskip* 알고리즘을 사용한다.

분산 주소 할당 방식 중의 하나인 *Cskip* 알고리즘을 쓰기 위해 3가지의 고정된 파라미터를 알아야 한다. 이 3가지 파라미터는 라우터나 코디네이터가 가질 수 있는 자식노드의 최대 개수, 자식노드가 라우터로 될 수 있는 최대 개수, 네트워크의 최대 깊이이다. 그러나 이렇게 논리적으로 형성된 네트워크는 실제적으로 센서를 배치하게 되면 낭비되는 주소 공간이 증가할 수 있다는 치명적인 약점이 존재한다. 본 논문에서는 노드가 데이터 전송 시 기존 ZigBee 분산 주소 할당 기법보다 더 나은 멀티홉을 가지며 낭비되는 주소 공간을 해결하고자 (x, y) 또는 (x, y, z) 좌표 값을 이용한 알고리즘을 제안한다.

II. 기존 연구

2.1. ZigBee Network

ZigBee network를 구성하는 노드는 라우팅 기능을 갖는 코디네이터, 라우터와 라우팅 기능을 갖지 않는 end device로 구분된다. 코디네이터는 routing 기능뿐만 아니라 네트워크를 시작하는 역할을 한다. 라우터는 routing기능을 가지고 있기 때문에 중간 노드로서의 역할을 수행하며 하위 자식노드를 소유할 수 있다.

반면 end device는 라우팅 기능을 가지지 않기 때문에 하위에 자식노드를 가질 수 없고 sleep 모드를 이용하여 에너지 소모를 감소시키는 기능을 갖는다. ZigBee 표준에서 제정되어 있는 라우팅 알고리즘으로써 IEEE 802.15.4 MAC이 beacon-enable mode일 경우 Tree routing 기법을 이용하고, non-beacon mode일 경우에는 mesh routing 기법을 사용하도록 권장하고 있다.

ZigBee 트리 라우팅 네트워크는 부모-자식 관계를 통해 트리 구조로 구성된다. 가장 먼저 코디네이터가 상위 부모 노드로 지정되고 나머지 하위 노드들이 방사형으로 코디네이터에 가까운 자식노드부터 위치하게 된다.

2.1.1. ZigBee Network 분산 주소 할당 기법

기본적으로 트리 라우팅 기법은 분산 주소 할당 기법에 의해 동작한다. 코디네이터와 라우터는 네트워크에 참여하기 위해 자신에게 접속을 요청하는 새로운 노드에게 16bit 주소를 할당하며 $2^{16}=65536$ 개의 노드를 할당할 수 있다. 이 주소는 네트워크 내에서 라우팅을 위한 유일한 주소가 된다.

자식 노드에게 주소 할당이 가능한 코디네이터나 라우터는 자신의 네트워크 깊이에 따라 할당 가능한 주소범위를 갖게 되는데 이는 *Cskip* 알고리즘을 통해 계산하게 된다.

$$Cskip(d) = \begin{cases} 1 + C_m \times (L_m - d - 1) & , \text{if } R_m = 1 \\ \frac{1 + C_m - R_m - C_m \times R_m^{L_m - d - 1}}{1 - R_m} & , \text{otherwise} \end{cases} \quad (1)$$

표 1. 식 (1) 에 대한 변수 정리
Table 1. Variables for Equation

변수	의미
$Cskip(d)$	해당 노드가 할당할 수 있는 주소 블록 범위
C_m	각 노드가 가질 수 있는 최대 자식 개수
L_m	네트워크 최대 depth
R_m	자식으로 가질 수 있는 최대 라우터 개수
d	자신의 네트워크 depth

식 (1)에서 나타내는 변수 값들은 아래 표 1과 같다. 깊이가 결정되어 있고, 최대 자식의 개수와 노드가 가질 수 있는 최대 라우터의 개수가 정해져 있을 때 식 (1)과 식 (2)를 이용하여 주소를 분산적으로 할당할 수 있다.

$$A_n = A_{parent} + Cskip(d) \times m + 1 \quad (2)$$

표 2. 식 (2) 에 대한 변수 정리
Table 2. Variables for Equation (2)

변수	의미
A_n	새로운 노드에 부여할 주소
A_{parent}	주소를 할당하는 부모의 주소
m	현재 부모 노드가 가지고 있는 router 개수

Cskip 알고리즘을 통해 해당 노드가 할당할 수 있는 노드의 주소 블록 범위를 구하게 되며 새로운 노드의 접속을 수락한 부모 노드는 식 (2)에 따라서

주소를 할당한다. Tree 라우팅 알고리즘은 별도의 라우팅 테이블 없이 분산 주소 할당 기법과 간단한 계산식을 통해 데이터를 전송하는 방식이다. 오로지 부모 노드나 자식 노드로만 데이터를 전송하는 약점을 지니고 있다. 식 (2)를 통해 주소를 할당한 후 어느 한 라우터가 자식노드로부터 통신하고자 하는 목적지 주소를 받았을 때 식 (3)이 성립을 하면 자신의 다른 자식들에게 이 데이터를 전송하고 성립하지 않으면 이 값을 부모 노드에게 전송한다.^[8] 이 데이터를 받은 부모 노드는 이 같은 작업을 반복하며 트리 라우팅이 이루어진다.

$$A_r < D < A_r + Cskip(d-1) \tag{3}$$

여기서 A_r 은 라우터 자신의 주소이며 D 는 목적지 주소를 의미한다. 그림 2는 각 노드가 가질 수 있는 최대 자식 노드의 개수가 4이고, 자식으로 가질 수 있는 최대 라우터의 개수가 4이며, 네트워크의 최대 depth가 3일 때의 주소 할당 예를 보여주고 있다. 이 예제에서 볼 때 현재의 깊이 d 가 0일 때 $Cskip(0)$ 의 값이 식 (1)에 의해서 21이 된다. 코디네이터는 0번으로 주소가 할당되어 자식 노드의 주소를 할당할 때 첫 번째 자식 노드의 주소에 자신의 주소에 1을 더해서 주소 값을 1로 할당한다. 두 번째 자식의 주소 값을 $Cskip(0)$ 값인 21에 자신의 주소인 1을 더해서 22를 할당하는 방식으로 첫 번째 깊이의 주소 값을 할당한다.

이와 같은 방식으로 두 번째 깊이의 주소 값을 할당할 경우도 마찬가지로 $Cskip(1)$ 값을 이용하여 첫 번째 깊이에 있는 노드의 주소를 할당할 때와 같은 방식으로 할당한다. 하지만 각 21개씩의 주소 범위를 할당 하였음에도 불구하고 그림 2에서처럼 하나의 라우터가 가지는 자식 센서 노드 개수가 주소 블록 범위만큼 할당되지 않는다면 그만큼의 주소 공간의 낭비를 초래하게 된다. 때문에 이러한 주소 공간 낭비의 해결을 위한 새로운 주소 할당 방식이 제안 되고 있다.

2.1.2. LAA(Last Address Assigned) 기법

유선에서는 트리 형식으로 거리에 상관없이 선으로 연결을 하면 통신이 이루어진다. 하지만 ZigBee 통신은 무선 통신이기 때문에 공간에 대한 성분을 고려해야 한다. 이러한 문제점을 개선하고자 제안된 LAA 알고리즘은 코디네이터나 라우터가 새로운 노드에 주소를 할당할 때에 라우팅 테이블에 마지막

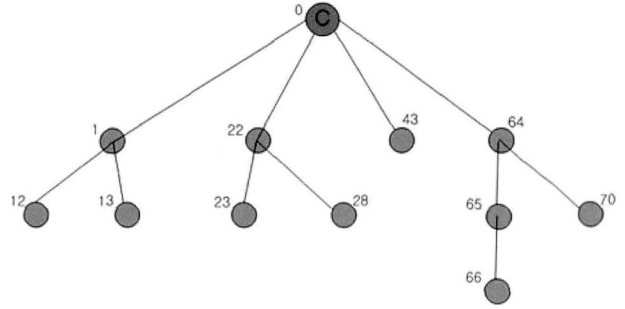


그림 2. $C_m = R_m = 4, L_m = 3$ 일 때의 주소 할당
Fig. 2. Address allocation when $C_m = R_m = 4, L_m = 3$

표 3. $C_m = R_m = 4, L_m = 3$ 일 때의 $Cskip(d)$
Table 3. $Cskip(d)$ when $C_m = R_m = 4, L_m = 3$

D	$Cskip(d)$
0	21
1	5
2	1
3	0

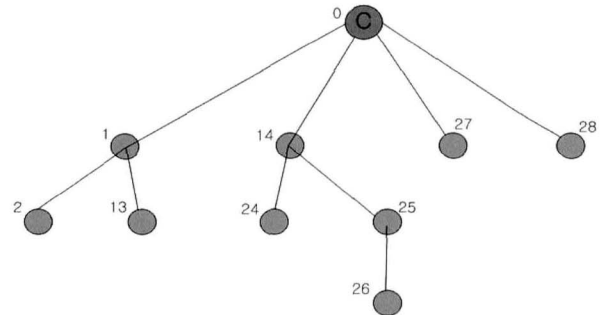


그림 3. $C_m = 4, R_m = 2, L_m = 3$ 일 때의 주소 할당
Fig. 3. Address allocation when $C_m = 4, R_m = 2, L_m = 3$

표 4. $C_m = 4, R_m = 2, L_m = 3$ 일 때의 $Cskip(d)$
Table 4. $Cskip(d)$ when $C_m = 4, R_m = 2, L_m = 3$

D	$Cskip(d)$
0	13
1	5
2	1
3	0

주소 값을 저장하게 되며 추가되는 노드에 이어서 주소 값을 할당하게 된다. 그림 3은 각 노드가 가질 수 있는 최대 자식 노드의 개수가 4이고, 자식으로 가질 수 있는 최대 라우터의 개수가 2이며, 네트워크의 최대 depth가 3일 때의 주소 할당 예를 보여 주고 있다. 이 예제에서 볼 때 현재의 깊이 d

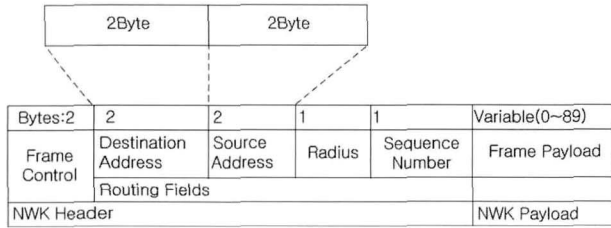


그림 4. 네트워크 계층의 프레임 형식
Fig. 4. The network layer frame format

가 0일 때 $Cskip(0)$ 의 값이 식 (1)에 의해서 13이 된다.

라우터의 개수가 줄어오써 $Cskip(0)$ 값도 줄어드는 것을 볼 수 있다. 또한 코디네이터가 처음 할당한 1번 라우터의 자식노드 주소가 13번까지 할당되었다면 그 다음 추가된 라우터에는 14의 주소 값을 이어서 할당되는 것을 볼 수 있다. 예를 들어 2번 노드에서 26번 노드로 데이터를 보낸다고 가정하면 2→1→0→14→24→14→25→26의 순서로 검색하게 된다. 14번 주소를 갖는 라우터는 24, 25의 주소 값만을 기억하기 때문에 25번 라우터가 가지는 26번 센서노드를 찾을 수 없다. 때문에 주소공간의 낭비를 줄일 수 있지만 최하위 노드까지 내려와야 하는 단점으로 인해 불필요한 홉 카운트가 발생하게 된다. 이러한 방식은 네트워크 크기가 커짐에 따라 빈번한 충돌을 가질 수 있는 단점을 가진다.

III. 제안하는 방식

3.1. 제안하는 네트워크 계층의 프레임 구조

기존 ZigBee network에서 사용하는 네트워크 계층의 프레임은 그림 4와 같고, 네트워크에서 사용하는 주소 필드는 총 4Byte가 할당되며 Destination Address와 Source Address에 각각 2Byte씩 할당하여 사용한다.

따라서 그림 4에서와 같이 Destination, Source 노드는 각 16bit씩 할당 가능한 주소 범위를 가지며 총 65536개의 node를 할당할 수 있다. 하지만 무선 통신 환경에서 공간에 대한 성분을 충분히 고려해야 하며 65536개의 할당된 노드가 충족되지 않는다면 주소 공간의 낭비를 가져온다. 이러한 문제점을 해결하기 위해 본 논문에서는 그림 5에서와 같이 16비트의 주소공간을 (x, y) 또는 (x, y, z) 좌표 값을 유동적으로 주소 공간을 할당하여 사용한다.

고정된 네트워크에서 관리자는 각 센서 노드의 위치를 사전에 알고 있기에 각 센서에 맞는 좌표

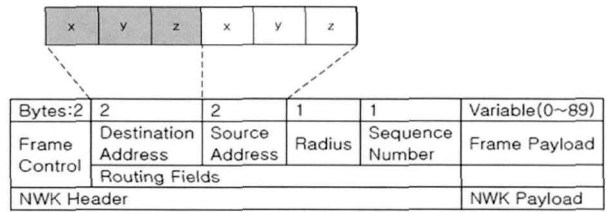


그림 5. 제안하는 네트워크 계층의 프레임 형식
Fig. 5. The network layer frame format of the proposed

값을 유동적으로 할당할 수 있다.

3.2. 제안하는 주소 할당 방법

ZigBee 센서 네트워크는 계층적인 구조로 되어 있으므로 통신 경로를 설정해 주어야 한다. 그러기 위해서는 관리자가 임의로 일정한 노드에 라우팅 기능과 센싱 기능을 동시에 하는 디바이스인 FFD(Full Function Device)를 두고 나머지 노드에는 센싱 기능만을 하는 RFD(Reduced Function Device)를 둔다. 제안하는 좌표 라우팅 알고리즘은 일반적인 건물인 2차원 평면에서의 거리 벡터 알고리즘과 각 층에 상가나 기타 사무실 등이 많이 층당 다수의 미터기가 설치되어야 하는 3차원 공간에서의 위치 기반 주소할당 방법이다. 저 2차 평면에서의 알고리즘은 다음과 같은 순서에 의해 동작한다. 먼저 이벤트가 발생한 센서노드는 가장 먼저 상위 FFD 장치로 데이터를 전송하며 순차적으로 (x, y) 좌표 값을 각각 연산 후 그것을 따라 라우팅 경로를 설정한다. 그림 7은 (x, y) 좌표 축을 평면 상에 나타낸 그림이다. 코디네이터를 축으로 x축은 코디네이터와 루트라우터를 두어 각각의 FFD 장치

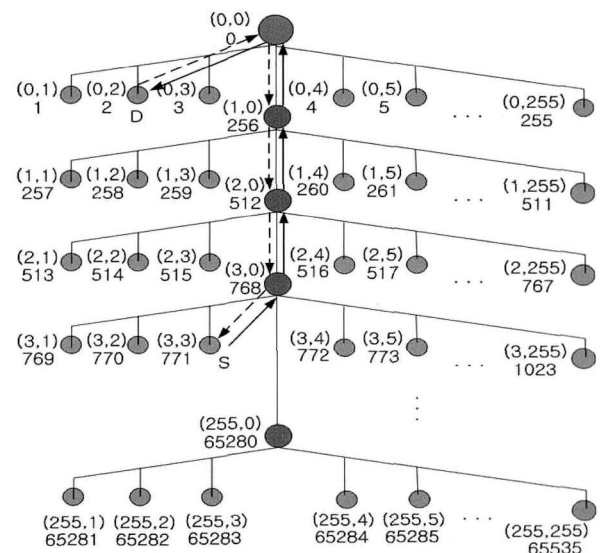


그림 6. (x, y) 좌표 평면에서의 라우팅
Fig. 6. (x, y) coordinates routing

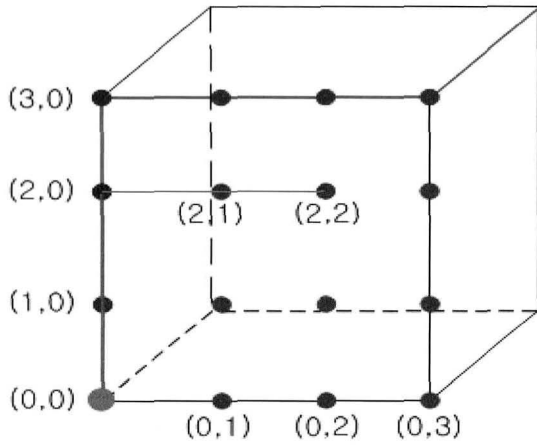


그림 7. (2, 2) 값을 적용한 입체 공간
Fig. 7. (2, 2) coordinates space applying the values

들은 y축의 센서 노드를 관리하게 된다. 예를 들어 소스 노드(3, 3)에서 목적지 노드(0, 2)으로 데이터를 보낸다면 소스에서는 패킷단위로 상위 루트 라우터에 전송하여 라우팅을 시작한다. 하위 노드에게 데이터를 받은 루트 라우터는 자신의 주소와 목적지 x축 값을 비교 후 자신의 값보다 작기 때문에 상위 루트 라우터에게 계속적으로 포워딩을 해주며 최종적으로 x축 값을 가진 코디네이터에서 해당 y 값 하나만을 판별 후 2번째 센서노드인 (0, 2)에게로 전송을 하게 된다. 이와 같이 기존 분산 주소 할당 기법에서의 16bit 주소 범위를 분할하여 사용함으로써 좀 더 효율적인 홉 카운트와 향상된 연산 속도를 기대할 수 있다.

위의 그림 8은 그림 7에서 보여준 좌표 평면상의 라우팅을 4층짜리 건물이나 빌딩 등에 적용한 경우를 예로 들었다. x축 주소를 2비트로 할당하였기 때문에 $2^2=4$ 가 되어 코디네이터를 시작으로 각 층별로 루트 라우터를 배치하여 관리함으로써 센서노드들을 더 효율적으로 관리 할 수 있다. 사전에 관리지는 건물을 설계하기 전에 미리 센서 노드를 고정으로 설치할 수 있다. (0, 0)에서 (2, 2)로 데이터를 보낼 경우 코디네이터가 패킷을 전송, x축 값을 비교하여 해당 루트라우터 (2, 0)에 도달하게 되고 y 값이 2인 센서 노드로 즉시 전송이 가능하다.

그러나 각층에 미터기가 많아질 경우 층별을 담당하는 루트 라우터가 층의 모든 미터기를 담당할 수 없을 지도 모른다. 따라서 그럴 경우는 (x, y, z) 3개의 축으로 나눠 x, y축에 있는 라우터는 FFD 역할을 수행하며 Z축의 미터기들이 RFD에 해당하게 된다. Zigbee 계층적 라우팅에서는 최단경로 문제를 해결하기 위해서 거리 벡터와 경로 벡터 알고

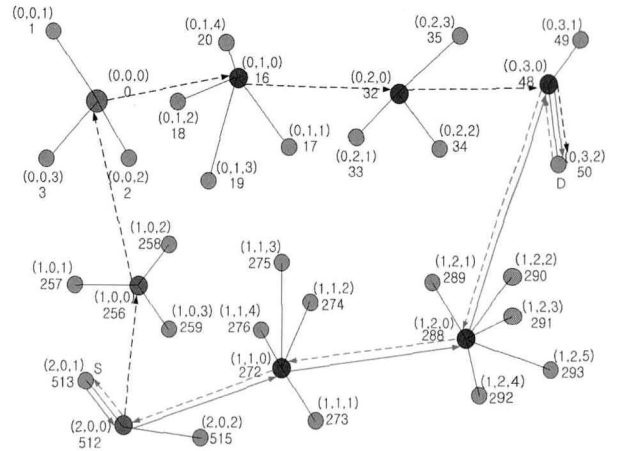


그림 8. (x, y, z) 좌표상의 위치 기반 경로벡터
Fig. 8. (x, y, z) coordinates on a location-based path vector

리즘을 제공한다. 현재까지는 거리 벡터 관점을 보았으며 차후 얼마든지 확장이 가능한 환경에서 경로 벡터를 적용할 수도 있다. 그림9는 (x, y, z) 좌표평면상의 거리벡터와 경로벡터를 예로 들고 있다. 그림 9에서 적용한 좌표 값을 위치 기반상의 경로 벡터로 적용하였을 경우를 예로 들고 있다. 먼저 그림 8에서 설명한 거리 벡터 관점의 예를 들어 관찰하면, 그림 9의 (2, 0, 1)에서 (0, 3, 2)로 보낼 경우 축 값을 따라 7홉에 걸쳐가게 된다. 하지만 경로 벡터는 FFD 노드 스스로 자신에게 가까운 또 다른 FFD 노드를 검색하여 주소를 저장하고 있기 때문에 총 5홉으로 좀 더 효율적인 단축 경로를 설정할 수 있다. 때문에 거리 벡터에서보다 경로 벡터를 적용하였을 때 2홉이 감소하는 것을 확인할 수 있다. 그림 10은 평면 상의 라우팅을 4층짜리 건물이나 빌딩 등에 경로 벡터를 적용한 경우를 예로 들었다.

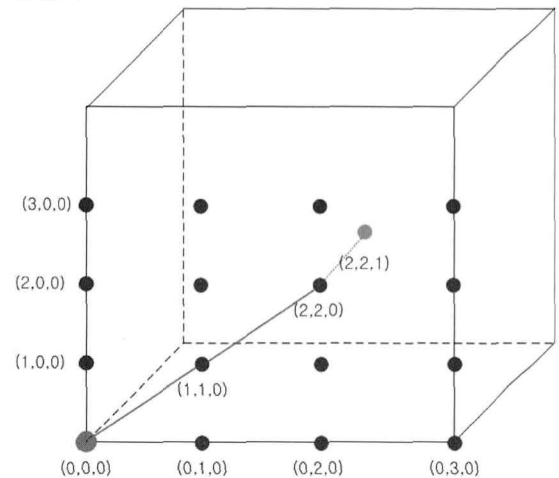


그림 9. (8, 4, 4) 좌표 총 65,536개 노드
Fig. 9. (8, 4, 4) coordinate the total node 65,536

거리 벡터 기반을 하였을 경우 x축으로 2홉, y축으로 2홉, z축으로 1홉을 거치게 되므로 모두 7홉을 거치게 되지만 초기 설정과정에서 위치를 인식하는 노드들이 경로 벡터를 사용하여 근접 테이블에서 라우팅 주소를 검색하여 최소한의 홉을 가지는 경로를 설정할 수 있다. 따라서 그림 10과 같이 경로 벡터를 사용할 경우 3홉에 도달할 수 있게 된다.

IV. 성능 평가

4.1. 성능 평가 환경

본 논문에서 제안한 (x, y, z) 좌표 값을 적용한 주소 할당 방식을 ZigBee 분산 주소 할당 방식인 C_{skip} 알고리즘과 평균 멀티 홉의 수의 차이를 비교하였다. 라우팅을 하는데 있어서 몇 홉을 거쳐서 가느냐에 따라 그만큼 라우팅 비용이 소요된다. 통신을 할 수 있는 한도 내에서 홉 수가 적을수록 효율적인 라우팅 기법이라 말할 수 있다. 공정한 성능 평가 알고리즘을 위해 밀집한 지역에 동일한 노드의 수를 설정하였으며 최대 네트워크 크기가 65536개일 경우와 255개로 감소시켰을 때의 멀티 홉을 각각 비교하였다. 홉 카운트 수는 두 개 임의의 노드 사이 경로를 말하며 평균 홉 카운트는 하나의 임의의 노드에서 다른 임의의 노드까지 모든 홉 카운트의 합계이다. 건물을 초기 설계할 때 관리자는 사전에 센서 노드의 위치 정보를 적절한 (x, y, z) 좌표 값을 주어 할당한다. 할당된 bit는 x축을 루트 라우터, y축은 서브 라우터, z축은 일반적인 센서 노드에 대한 값을 의미하며 다음 식 (4)에 따라 각각의 루트 라우터 노드 수와 센서 노드의 수를 구성하게 된다.

$$\begin{aligned}
 2^x - 1 &: \text{루트 라우터 노드의 개수} \\
 2^x \times (2^y - 1) &: \text{서브라우터 노드의 개수} \\
 2^x \times 2^y \times (2^z - 1) &: \text{센서 노드의 개수} \quad (4)
 \end{aligned}$$

표 5는 최대 65536개 노드를 배치하였을 경우 기존 ZigBee 분산 주소 할당 기법 C_{skip} 알고리즘과 제안한 (x, y, z) 좌표 할당 기법 알고리즘을 비교한 것이다. 식 (4)에서 (8, 8, 4)의 좌표를 할당하여 16bit 주소 범위를 모두 사용하였을 경우이다.

x값을 8bit로 주었을 경우 $2^8=256$ 에서 코디네이

표 5. 평균 홉 수 비교 표 (노드 65535)

Table 5. The comparison table of the average hops(node 65535)

노드 수	C_{skip} 알고리즘 평균 홉 수	(x,y) 좌표 평균 홉 수	(x,y,z) 좌표 평균 홉 수
15	3.5	3.0	2.8
31	5.0	3.9	3.2
63	6.6	4.4	3.5
127	8.4	5.1	3.9
255	10.2	5.9	4.2
511	12.1	6.6	4.5
1023	14.1	7.3	5.1
2047	16.0	8.0	5.5
4095	18.0	8.6	5.9
8191	20.0	9.3	6.8
16383	22.0	10.0	7.8
32767	24.0	10.7	8.1
65535	26.0	11.3	8.9

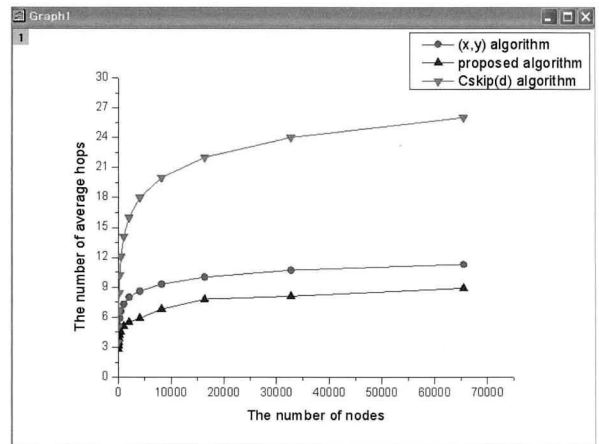


그림 10. 노드 65536개의 경우 평균 홉 비교
Fig. 10. average hops (node 65535)

터 값인 1을 빼고 255개의 루트 라우터의 수를 할당 할 수 있으며, 서브 라우터와 하위 센서 노드 역시 같은 방법으로 할당할 수 있다.

$$\begin{aligned}
 2^8 - 1 &: \text{루트 라우터 노드의 개수} \\
 2^8 \times (2^8 - 1) &: \text{서브라우터 노드의 개수} \\
 2^8 \times 2^8 \times (2^4 - 1) &: \text{센서 노드의 개수} \quad (5)
 \end{aligned}$$

그림 11를 보면 제안한 방식이 ZigBee 분산 주소 할당 기법 C_{skip} 알고리즘에 비해 현저하게 멀티 홉의 수가 감소하는 것을 볼 수 있다. 표 6과 그림 12는 최대 노드 개수를 255로 범위를 좁혀 배치하였을 경우 기존 알고리즘과 평균 홉 차이를 비교한 것이다.

표 6. 평균 홉 수 비교표 (노드 255)
Table 6. The comparison table of the average hops(node 255)

노드 수	(x, y) 좌표 평균 홉 수	(x, y, z) 좌표 평균 홉 수
3	2	2
7	2.7	2.5
15	3	2.8
31	3.9	3.2
63	4.4	3.5
127	5.1	3.9
255	5.9	4.2

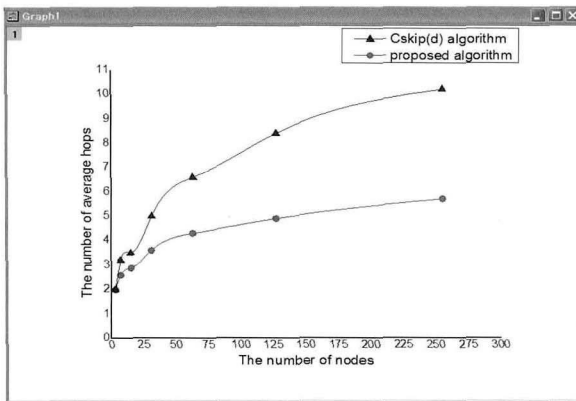


그림 11. 노드 255개의 경우 평균 홉 비교
Fig. 11. average hops (node 255)

그림 12는 일반 아파트 환경을 고려하였을 때 스마트 미터기가 최대 255개까지를 고려하여 실험한 결과 값이다. 제안한 방식이 기존 ZigBee 분산 주소 할당 기법 C_{skip} 알고리즘과 비교 하였을 경우 평균 2.1홉 정도 감소하는 것을 볼 수 있다.

V. 결 론

본 논문에서는 스마트그리드 환경의 ZigBee 무선 통신 주소지정 할당 방식과 라우팅 알고리즘의 성능을 향상시키기 위해 좌표 값을 적용한 새로운 알고리즘을 제안하였다.

기존 ZigBee 무선 통신의 프레임 구조에서는 source address와 destination address를 각 16비트씩 할당하는데 반해, 본 논문에서는 16비트의 주소 공간을 각각 (x, y) 좌표, 또는 (x, y, z) 축으로 분할하여 할당한다. 그리고 필요에 따라 거리 벡터가 아닌 경로 벡터 기반인 위치 기반 알고리즘을 사용한다. 제안한 주소 할당 알고리즘이 할당 된 좌표

값의 비트에 따라 배치한 노드의 개수가 증가하면서 기존 알고리즘보다 확연한 멀티 홉 감소를 보였다. 센서 네트워크에서 홉 수가 줄어든다는 것은 그만큼 연산량이 줄어 더 빠른 전송속도가 효율적인 에너지 소모를 의미한다.

라우팅 연산을 수행할 때 적은 비트 연산이 수행되며 짧은 전달 경로를 갖기 때문에 노드의 에너지 감소와 네트워크의 트래픽 감소가 이루어진다. 현재 Smart Grid 산업이 대두되고 있는 가운데 국내의 경우 2010~2030년까지의 추진 계획이 세워져 있다. 향후 각종 빌딩이나 아파트 등 여러 환경의 건물 등에 적용하였을 경우 효율적인 홉 수와 전송속도를 기대할 수 있을 것이라 사료된다.

참 고 문 헌

- [1] <http://smartgrid.ieee.org/www.kesl.org>
- [2] National Energy Technology Laboratory for the U.S. Department of Energy Office of Electricity Delivery and Energy Reliability, Advanced Metering Infrastructure, February 2008.
- [3] <http://www.nist.gov/smartgrid/>
- [4] "Wireless Medium Access Control and Layer Specifications ofr Low-Rate Wireless Personal Area Networks (LR-WPANs)," IEEE Std 802.15.4-2003, IEEE Computer Society, 01 Oct., 2003.
- [5] X. Li, K. Fang, and J. Gu, "An Improved ZigBee Routing Strategy for Monitoring System," The 1st Int. Workshop Intelligent Networks and Intelligent Systems, pp.255-258, Nov., 2008.
- [6] T. kim and D. kim, "Shortcut Tree Routing in ZigBee Networks," Int. Symposium on Wireless Pervasive Computing, Feb., 2007.
- [7] D. W. Seo, D. S. Yun, and S. H. Cho, "A Network Performance Improvement for One to-One and Many-to-One Communication Environment in ZigBee," Internet Magazine ElectroScop, Nov., 2007.
- [8] K. Khamforoosh and H. Kamforroush, "A New Routing Algorithm for Energy Reducetion in Wireless Sensor Networks," IEEE, pp. 505-509, 2009.

- [9] ZigBee Alliance, ZigBee-2007 Specification: ZigBee Document 053474r17, Jan., 2008.
- [10] U.S. Department of Energy, National Energy Technology Lab., Modern Grid Initiative, http 자료
- [11] Wikipedia encyclopedia, Smart Grid. May, 2009.

오 영 환 (Young-Hwan Oh)

정회원



현재 광운대학교 전자통신공학과 정교수

임 승 빈 (Song-Bin Im)

정회원



2002년 2월 광운대학교 전자통신공학과 석사

2008년 3월~현재 신홍대학 전자통신과 겸임교수

2007년 3월~현재 광운대학교 전자통신공학과 박사수료

<관심분야> Smart Grid, ZigBee, Security